

九州大学 工学部 正員 山内豊聰
 同 大学院 学生員 藤原東雄
 同 学生員 ○秦 裕司

1. まえがき 粘土は種々の条件により、いろいろの構造を持っている。(たとえば、ランダム構造、綿毛化構造、定向配列構造、ドメイン構造。) ランダム構造を、一軸的に圧密すれば定向配列構造になることは、今までの研究で明らかにされたことである。図-1(a)に示されるように、圧密が終了したところでは定向配列構造になったと仮定する。図-1(b)に示すように、斜線部をカットしたことにより曲線ABCDCDで、すべりを生じると、A,B,C,D点では破壊角が異なる。もしセン断強度や破壊角で異なるれば、A,B,C,D点の粘着力は異なるはずである。ここではランダム構造と定向配列構造を、人工的に作成してその異方強度を一面セン断試験で出した。

2. 実験 イ試料の準備 有明海のヘドロを、
 2mmのフルイにかけた後、蒸留水と塩酸で繰返し洗い(約2ヶ月間)種々のイオンと有機質を取り除いた。
 そして二つに分け一つは分散剤(テトラリン酸ナトリウム)を入れ、人工的に定向配列構造にならうようにした。
 他の一つは凝集剤(硫酸スケネシウム)を入れ、人工的にランダム構造に近くなるようにした。構造を確実にするため、分散剤を入れた土(ヘドロIと呼ぶ)を

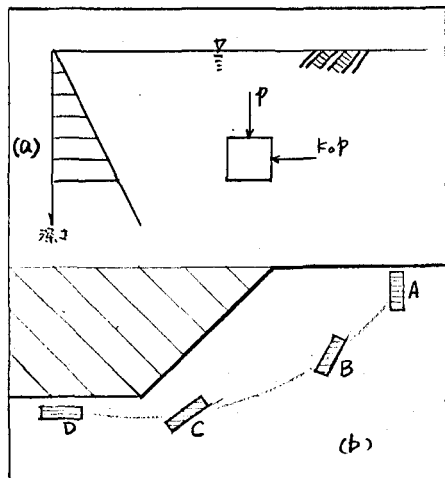


図-1(a),(b) 粒子配向と斜面のすべり

4kg/cm²で一軸圧密し、凝集剤を入れた土(ヘドロIIと呼ぶ)も同じく4kg/cm²で三軸圧密を行なった。
② 実験 ヘドロIでは粒子配向に対して、0°, 30°, 45°, 60°, 90°の角度で切り、各々0.1, 0.2, 0.5, 1.0, 2.0, 3.0, 4.0 kg/cm²の垂直圧で一面セン断試験を行なった。ヘドロIIでは、ランダム構造なので局部的には異方であるが、土全体としては等方である。また0.1, 0.2, 0.5, 1.0, 2.0, 3.0, 4.0 kg/cm²の垂直圧で一面セン断試験を行なった。

3. 結果と考察 Bishop²⁾は純粘着性粘土 $\phi = 0^\circ$ と仮定して次式を立てている。

$$C_{u,\theta} = C_{u,\theta=0} \times (1 - a \sin^2 \theta) \times (1 - b \sin^2 \theta) \quad (1)$$

ここで、 C_u ; 有効粘着力 θ ; 粒子配向と破壊面との角度

a, b ; 周辺水压、方向性および過圧密状態などの条件で変わる定数

$$\text{一方}, L_0³⁾ は $C_{u,\theta} = C_{u,\theta=90} + (C_{u,\theta=0} - C_{u,\theta=90}) \cos^2 \theta \quad (2)$$$

を立てている。ヘドロの結果は、図-2(a), (b) が示す通りである。

図-2(a)は、過圧密比が小さい場合である。すなわち4.0, 3.0, 2.0 kg/cm²の垂直圧で一面セン断試験の結果である。この場合は、円形に近いがθが小さくなると、すなわちすべり面が粒子配向に近づくに

つれて粘着力 C_m は小さくなっている。これは正規圧密粘土で行なった L_o の結果に近い傾向を示している。また(2)でもあてはまる。

図-2(b)は、過圧密比が大きい場合、すなわち、 $1.0, 0.5, 0.2, 0.1 \text{ kg/cm}^2$ の垂直圧の結果である。これは円形（強度が等方的である）からは、相当離れている。したがって過圧密比がかなり粘土の異方強度に影響を与えることがわかる。

これらの結果を(1)式に代入した値を、表-1に示す。(図-2(a), (b) では破線) 表-1から見ると、過圧密比が大きくなると α の値は小さくなつてゆき、同じく b の値も小さくなつていく傾向にある。同心円(図-2(a), (b) では実線)で描いているのは、ヘドロIIの結果である。

ヘドロIIは過圧密比が小さいときは、ヘドロIの 90° よりも強度が小さいが、過圧密比が大きくなると逆にヘドロIの 90° の強度より大きくなつている。以上のことから粘土の異方強度は、過圧密比に大きく影響されることがわかった。

また、Hvorslev⁴⁾ の結果から、土の種類によつて (Vienna Clay & Little Belt Clay で、 $\theta = 0^\circ, 45^\circ, 90^\circ$ で実験している。) まったく逆の現象が出てきている。このことからも、土の種類によつて、異方強度が変化する。

4 あとがき 今回は、ヘドロの過圧密性で一面せん断試験を行ない、過圧密比が異方強度に大きく影響することがわかつたが、今後、正規圧密状態でも実験を行うつもりである。また、一軸圧縮試験、三軸圧縮試験でも行うつもりである。

5 参考文献

- 1) Duncan, J. M. and Bolton Seed ; Anisotropy and Stress Reorientation in Clay ; 1966 ASCE
- 2) Bishop, A. W. ; The Strength of Soils as Engineering Materials ; 1966 Geotechnique
- 3) Lo, K. Y. ; Stability of Slap in Anisotropic Soils ; 1965 ASCE
- 4) Hvorslev, M. J. ; Physical Components of the Shear Strength of Saturated Clays ; 1955 ASCE Research Conference

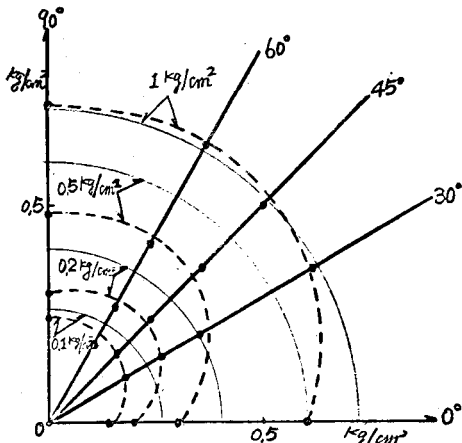
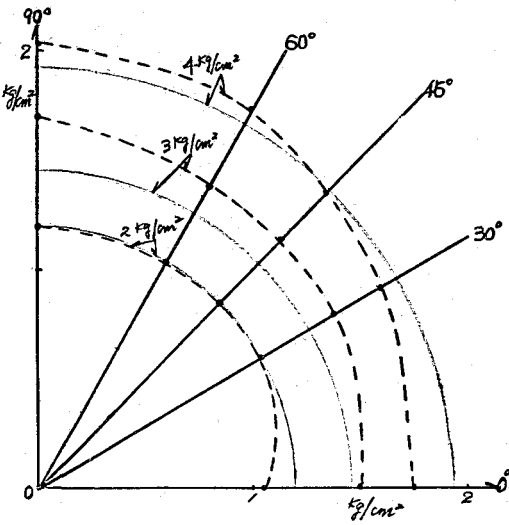


図-2(a), (b) ヘドロの異方強度の極図表

θ/deg	4.0	3.0	2.0	1.0	0.5	0.2	0.1
a	-0.17	-0.13	-0.14	-0.22	-0.60	-0.50	-0.71
b	-0.03	0.00	-0.07	-0.11	-0.31	-0.32	-0.26

表-1 (1)式におけるヘドロの a, b 値